

構造物一般の弾性屈屈解析法についての考察

三菱重工業 K.K.

藤野 効

三菱重工業 K.K. 正員 大坂 達司

骨組または薄板の組合せとして表わされる任意の構造物の弾性屈屈解析法の提案である。

任意の構造物とは、下とえば図-1に示すような立体構造物で適當にはいくつかの節点(図では星丸で示す)を持ち、二の節点間は梁または薄板を介して互に力が作用し合うと考えられるものをいう。図-1の節点間を結ぶ線は、梁と考えてもよく、また三角形板の折れ目と考えてもよい。とにかく節点間は弾性的要素によって結合されると仮定する。

いま平衡状態にある構造物の節点*i*の平衡方程式は

$$\sum_k T_{ik} \cdot \bar{f}_{ik} = \bar{P}_i \quad (1)$$

と書ける。ここで長なる弾性要素が節点に結合されることはとして、 T_{ik} は要素について定められた座標と構造全体に共通して求められた基本座標との点に関する座標回転関係を表わすmatrixである。 \bar{f}_i は要素のモード点の座標軸方向の力のvectorである。 \bar{P}_i は点に作用する外力vectorである。また \sum_k とは点に作用する要素の全マトリクスをsum up することである。

ところが平衡状態にある構造物に微少な付加変位を与えた場合に別の平衡状態が存在するとすれば(1)式は高次の微少項を省略して

$$\sum_k T_{ik} \cdot \bar{f}_{ik} + \sum_j \sum_k \frac{\partial T_{ik}}{\partial x_j} u_j + \sum_j \sum_k \frac{\partial T_{ik}}{\partial x_j} \cdot \bar{f}_{ik} u_j = \bar{P}_i \quad (2)$$

と表わせる。ここに j は、点を含めず、要素に関する全ての節点を意味する。 x_j は節点の座標で u_j は j 点の付加変位である。 x_j および u_j は、3軸方向の座標および変位を便宜上まとめて一般的に表わしている。

(2)式は(1)式を代入して

$$\sum_j \sum_k T_{ik} \frac{\partial \bar{f}_{ik}}{\partial x_j} u_j + \sum_j \sum_k \frac{\partial T_{ik}}{\partial x_j} \cdot \bar{f}_{ik} u_j = 0 \quad (3)$$

となる。(3)式は変位 u に関する線形の式であるから各節点について(3)式と同様に平衡方程式を求めれば構造全体としては

$$\bar{F} \cdot \bar{u} - \bar{G}^* \bar{u} = 0 \quad (4)$$

なる線形連立方程式が成り立つ。

(3)式の第1項である \bar{F} は結局、構造全体を表わす剛性matrixに外ならないから、普通の静的な

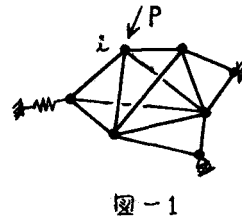


図-1

平衡方程式の係数matrixと同じである。つぎにオ2項に含まれる子が外力Fに比例すると仮定すれば単位外力に対する \bar{f}_{ij}^T を \bar{F} とおいて P_E なる大きさの外力に対しても(4)式はつぎのように書ける。

$$\bar{F} \cdot \bar{U} - P_E G \cdot \bar{U} = 0 \quad (5)$$

この(5)式は特定の値 P_E に対しても意味のある \bar{U} を解くもつが、その中で最小の P_E つまり最小の拘束荷重を求めることが問題になる。

そこで(5)式の特性について検討を行う。各節点の平衡方程式すなわち(1)式を構造全体についてまとめる

$$\bar{F} \cdot \bar{U} = \bar{P} \quad (6)$$

とMatrix表示される。(6)式はまた

$$\bar{F}^{-1} \bar{P} = \bar{U} \quad (7)$$

とも表わせる。ここで \bar{F}^{-1} の (i,j) 要素 f_{ij}^{-1} は j 点に単位力 P_j が作用したときの i 点の変位量を表わしている。しかし、^{く Maxwell-Betti}⁽¹⁾の相反定理なら

$$f_{ij}^{-1} P_i = f_{ji}^{-1} P_j \quad (8)$$

が成り立つことを考慮すれば、 $f_{ij}^{-1} = f_{ji}^{-1}$ すなわち \bar{F}^{-1} は対称 Matrixである。また

$$\bar{F} = E \cdot F = (\bar{F}^{-1} F)^T F = \bar{F}^T (\bar{F}^{-1})^T \bar{F} = \bar{F}^T \bar{F}^{-1} \bar{F} = \bar{F}^T E = \bar{F}^T \quad (9)$$

から \bar{F} も対称 Matrixである。

この結果から、相反定理の系として、任意の境界条件をもつ一般弾性構造物の剛さ Matrixは必ず対称になることが証明された。このように任意の剛さ Matrixに一般的な証明を与えるおくことは、物理的な意味だけでなく、数値計算法の上からも極めて重要である。たとえば任意の構造に適用でき3 Programに必要な Matrix Element の量は約半分でよく、それに伴う演算処理も非常に少くすむ。

つぎに $P_{Ei} \neq P_{Ej}$ として、 P_{Ei}, P_{Ej} に対する \bar{U} を \bar{U}_i, \bar{U}_j とすると \bar{U}_i, \bar{U}_j には次の関係がある。 $P_{Ei} =$ 対ある(5)式の左から \bar{U}_j^T を乗じて

$$\bar{U}_j^T \bar{F} \bar{U}_i - P_{Ei} \bar{U}_j^T G \cdot \bar{U}_i = P_{Ej} \bar{U}_j^T G \cdot \bar{U}_i - P_{Ei} \bar{U}_j^T G \cdot \bar{U}_i = (P_{Ei} - P_{Ej}) \bar{U}_j^T G \cdot \bar{U}_i = 0 \quad (10)$$

したがって

$$\bar{U}_j^T G \cdot \bar{U}_i = 0 \quad (11)$$

線形化した拘束方程式は他の方法によらずも求められると思うが、いずれにしても(5)式の形をとる。(5)式を満足する最小拘束荷重 P_E を求めるには、従来の方法では、行列式や逆行列を利用してきたりあるが、これらはも一般的な多節点構造に適用するには不都合が多く実用的でない。この点次のよ

うな筆者の提案する方法は非常にすぐれています。

すなまうち適当に決めた \bar{U} を用いて、次の連立方程式の左辺を常数とすることになります。

$$F \cdot \bar{U} = G \cdot \bar{U}^{(0)} \quad (12)$$

これを解いて改良された \bar{U} を左辺に求めます。この方法の利点は逆行列を必要としないので極めて演算速度を速くすることができます。また応力⁽²⁾、固有振動⁽³⁾、拘束荷重の計算がほとんど同じ Process で行えるので Programming の能率が非常によく樂です。また PC や Mac の予測を必要とせずに自動的に収束する。収束性は構造の特性によるので一概にいえないが立体で 100 頂点を越えても十分実用になります。言へ換えれば小型の電子計算機でもかなりの多節点構造の解析が可能となりますということになります。

収束性は次のようにして証明できます。任意の仮定した Vector $\bar{U}^{(0)}$ を

$$\bar{U}^{(0)} = \sum \alpha_i \bar{U}_i \quad (13)$$

で表わせるとする。ここで \bar{U}_i は i 次の拘束荷重 P_{E_i} に対応させます。(12) 式を解いたとすると

$$\bar{U} = F^{-1} G \cdot \bar{U}^{(0)} \quad (14)$$

と表わせますが、(14) 式の左辺を次の初期値として連立方程式を 1 回反復して解いて得られる Vector を $\bar{U}^{(k)}$ とすれば

$$\bar{U}^{(k)} = (F^{-1} G)^k \bar{U}^{(0)} = \sum_{i=1} \alpha_i \left(\frac{1}{P_{E_i}}\right)^k \bar{U}_i \quad (15)$$

となる。 $|P_{E_1}| < |P_{E_2}| < \dots$ とすれば(15) 式の左辺を変形して

$$\bar{U}^{(k)} = \left(\frac{1}{P_{E_1}}\right)^k \left(\alpha_1 \bar{U}_1 + \sum_{i=2} \alpha_i \left(\frac{P_{E_1}}{P_{E_i}}\right)^k \bar{U}_i\right) \quad (16)$$

と表わせることができます

$$\bar{U}^{(k)} \rightarrow \alpha_1 \left(\frac{1}{P_{E_1}}\right)^k \bar{U}_1 \quad k \rightarrow \infty \quad (17)$$

すなまうち最小拘束荷重は

$$P_{E_1} = \frac{\bar{U}^{(k-1)}}{\bar{U}^{(k)}} \quad k \rightarrow \infty \quad (18)$$

から得られます。拘束形は $\bar{U}^{(k)}$ である。

構造物によくは 1 次拘束荷重と 2 次拘束荷重が近接しているなど 2 次以上の高次拘束荷重を知る必要な生じる場合がある。 P_{E_2} を求めるには、(11) 式の結果を用いて

$$\bar{U}_1^T G \cdot \bar{U}^{(0)} = \bar{U}_1^T G \cdot \sum_{i=1} \alpha_i \bar{U}_i = \alpha_1 \bar{U}_1^T G \cdot \bar{U}_1 \quad (19)$$

となる。これから

$$\alpha_1 = \frac{\bar{U}_1^T G \cdot \bar{U}^{(0)}}{\bar{U}_1^T G \cdot \bar{U}_1} \quad (20)$$

が得られるので初めの仮定 Vector $\bar{U}^{(0)}$ を \bar{U} , 成分を除いた $\bar{U}^{(0)} - \alpha_1 \bar{U}_1$ に置き換えることによって P_{E_2} が自動的に求まる。

本法は振動解析の際に連続系を集中 Mass 系に置き換えるのと同様な線形化を行ってるので、構造をより程度多節点化する必要がある。そして分割数による近似度を検討するため、等断面梁を用いて Euler 振幅値との誤差を比較してみると図-2 のようになる。また支間を 10 等分割して節点間を直線で結んだアーチの等分布荷重による計算結果が図-3 であるが理論値との誤差は大きめで千 % である。この結果から一般的な構造の弹性振幅荷重の推定に本法を十分利用できると思われる。

本法は単純な骨組または板構造では多節点化が必要であるが反面、変断面、非対称荷重に自由に適用できる。また複雑な構造は必然的に多節点にはなるが特に節点を設けた必要はない。たとえば

図-1, 5 などと、図-1 は Rahmen と Truss 柱の全體振幅を比較したもの、図-5 は等分布荷重による Röhrse 構の面内振幅である。その他局部振幅の解析にも利用できる。

以上は面内の振幅についての例であるが、たとえば立体に拡張した場合にはさらに利用範囲は広い。基本的な一例として腹板の振幅解析があり、現在までの計算結果ではかなりよい結果が得られるところである。さらに、本法の拡張として振幅以前に部分的な塑性域の生ずる場合の考慮なども之と併せて比較的簡単に導入できるので、より多方面での応用を考えられる。

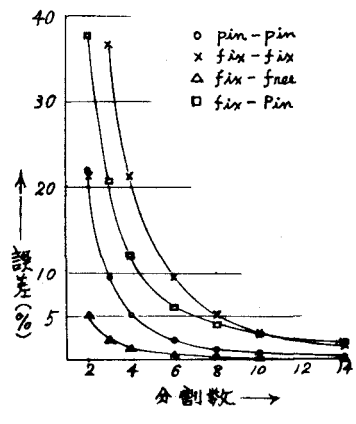


図-2

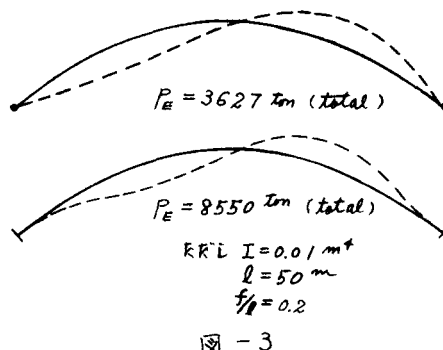


図-3

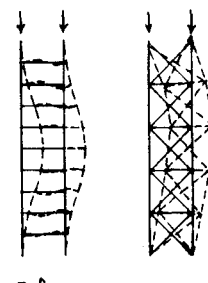


図-4

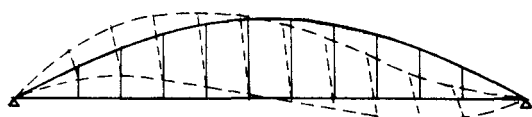


図-5

参考文献

- (1) 食西 応用弹性学 機械学会
- (2) 藤野, 大坂 電子計算機による平面構造の応力解析
三菱重工技報 MTB 010029 1965
- (3) 大坂 任意格子構造の固有振動解析ノハラ
東大工学部機械科 濃密研究室
MCB研究会講演資料 1966
- (4) 平井 鋼橋並 技報堂
- (5) 大坂, 上野, 熊野, 江草 ニールセン形橋梁の振幅に関する研究
三菱重工技報 (長大橋特集号) Vol.3, NO.6 1966